

Вторичная периодичность характеристических полос поглощения в ИК-спектрах гетерополигексавольфрамоникелатов(II) лантанидов

УДК 546(786+742+65+66) : 543.421/.424 : 546.05

Г.М. Розанцев ^a, Н.И. Гумерова ^{a,б}, А.Ю. Марийчак ^a, О.М. Усачов ^a, С.В. Радио ^a

ВТОРИЧНАЯ ПЕРИОДИЧНОСТЬ ХАРАКТЕРИСТИЧЕСКИХ ПОЛОС ПОГЛОЩЕНИЯ В ИК-СПЕКТРАХ ГЕТЕРОПОЛИГЕКСАВОЛЬФРАМОНИКЕЛАТОВ(II) ЛАНТАНИДОВ

^a Донецкий национальный университет имени Василия Стуса, Винница

^b Венский университет, Австрия

Определены условия синтеза и получены 14 новых гетерополигексавольфрамоникелатов(II) лантанидов $\text{Ln}_4[\text{Ni}(\text{OH})_6\text{W}_6\text{O}_{18}]_3 \cdot n\text{H}_2\text{O}$ ($\text{Ln}=\text{La}, \text{Ce}, \text{Pr}, \text{Nd}, \text{Sm}, \text{Eu}, \text{Gd}, \text{Tb}, \text{Dy}, \text{Ho}, \text{Er}, \text{Tm}, \text{Yb}, \text{Lu}$) из растворов системы $\text{Ni}^{2+}-\text{WO}_4^{2-}-\text{H}^+-\text{H}_2\text{O}$ ($v(\text{Ni}^{2+}):v(\text{WO}_4^{2-}):v(\text{H}^+)=1:6:6$). Методом ИК-спектроскопического анализа показано, что ИК-спектры всех солей в области вольфрам-кислородных колебаний (400–1000 cm^{-1}) имеют одинаковый вид и анионы в выделенных солях относятся к структуре Андерсона $[\text{Ni}(\text{OH})_6\text{W}_6\text{O}_{18}]^{4-}$. Установлено, что положение полосы поглощения, соответствующей валентным колебаниям связи $\text{W}=\text{O}$ для ряда солей $\text{Ln}_4[\text{Ni}(\text{OH})_6\text{W}_6\text{O}_{18}]_3 \square n\text{H}_2\text{O}$ практически не изменяется (949–952 cm^{-1}). В то же время положение полосы поглощения валентных колебаний в мостиковых фрагментах $\text{W}-\text{O}-\text{W}$ в областях 660–673 cm^{-1} и 876–886 cm^{-1} изменяются в большей степени и зависят от порядкового номера лантанида практически линейно. Показано, что на зависимостях полос поглощения в спектрах гетерополигексавольфрамоникелатов(II) лантанидов от значений мультиплетности (S), углового (J) и орбитального (L) моментов наблюдается вторичная периодичность.

Ключевые слова: гетерополисоединения, гетерополианионы со структурой Андерсона, лантаниды, ИК-спектроскопия.

Введение

Полиоксометаллаты (ПОМ) – это большой класс полиядерных комплексов, построенных из октаэдров MO_6 (M – центральный атом, например, W^{VI} , Mo^{VI} , V^{V} , Nb^{V}), которые соединены друг с другом за счет общих вершин, ребер и, крайне редко, граней [1]. ПОМ имеют разнообразную топологию и универсальные химические и физические свойства. Наиболее общая классификация делит ПОМ на изополианионы ($[\text{H}_x\text{M}_y\text{O}_z]^{n-}$) и гетерополианионы ($[\text{X}_x\text{M}_m\text{O}_y]^{q-}$, X – гетероатом, например, переходные металлы первого ряда, р- либо f-элементы). Отсутствие гетероатомов в изополианионах приводит к их повышенной нестабильности по сравнению с гетерополианионами. Наиболее распространенные гетерополианионы имеют структуры Кеггина $[\text{XM}_{12}\text{O}_{40}]^{n-}$, Доусона $[\text{XM}_{18}\text{O}_{62}]^{n-}$ и Андерсона $[\text{XM}_6\text{O}_{24}]^{n-}$ [1,2]. Гетерополианионы (ГПА) со структурой Андерсона $[\text{X}(\text{OH})_6\text{M}_6\text{O}_{18}]^{n-}$ (X – гетероатом, M – Mo, W), благодаря их стабильности как в твердой фазе, так и в водных и органических растворителях, образуют широкую гамму соединений с неорганическими, органическими и комплексными катионами, явля-

ющимися перспективными для использования в различных областях науки и техники. В сочетании с катионами редкоземельных элементов, имеющими частично заполненный f-подуровень, они образуют соли, которые могут найти применение при создании материалов для электроники [3]. Протонированные ГПА со структурой Андерсона могут выступать в качестве электроноакцепторов и сильных кислот Бренстеда, что дает возможность их использования в катализе органических реакций [4], а способность образовывать пероксокомплексы, в которых переходные каталитически активные металлы выступают в качестве гетероатомов, является особенно полезной в реакциях окисления. Благодаря небольшому размеру и близкой к планарной структуре, гетерополианионы со структурой Андерсона привлекают внимание и как «строительные блоки» при создании наноразмерных структур [5], а в дальнейшем и функциональных материалов на их основе. Не меньший интерес представляют продукты термолиза гетерополисоединений (ГПС), особенно в плане создания селективных катализаторов и люминесцентных композиций [6–8].

Известно, что положение некоторых полос поглощения в колебательных спектрах солей лантанидов зависит от природы катиона. Данная работа посвящена установлению наличия такой зависимости в положении полос поглощения от порядкового номера лантанида в спектрах $\text{Ln}_4[\text{Ni}(\text{OH})_6\text{W}_6\text{O}_{18}]_3 \cdot n\text{H}_2\text{O}$ ($\text{Ln}=\text{La}, \text{Ce}, \text{Pr}, \text{Nd}, \text{Sm}, \text{Eu}, \text{Gd}, \text{Tb}, \text{Dy}, \text{Ho}, \text{Er}, \text{Tm}, \text{Yb}, \text{Lu}$).

Экспериментальная часть

Характеристика и стандартизация исходных веществ

При проведении исследований были использованы водные растворы $\text{Na}_2\text{WO}_4 \cdot 2\text{H}_2\text{O}$ «ч.д.а.», HNO_3 «х.ч.», $\text{Ni}(\text{NO}_3)_2 \cdot 6\text{H}_2\text{O}$ «ч.д.а.», $\text{Ln}(\text{NO}_3)_3 \cdot 6\text{H}_2\text{O}$ ($\text{Ln}=\text{La}, \text{Ce}, \text{Pr}, \text{Nd}, \text{Sm}, \text{Eu}, \text{Gd}, \text{Tb}, \text{Dy}, \text{Ho}, \text{Er}, \text{Tm}, \text{Yb}, \text{Lu}$) «х.ч.». Установление точных концентраций растворов исходных веществ проводили по методикам, ранее подробно описанным в [9]: Na_2WO_4 – гравиметрически, гравиметрическая форма WO_3 ($\delta=0,5\%$); HNO_3 – титрованием точной навески $\text{Na}_2\text{B}_4\text{O}_7 \cdot 10\text{H}_2\text{O}$ (индикатор метиловый красный) ($\delta=0,5\%$); $\text{Ni}(\text{NO}_3)_2$ – гравиметрически, гравиметрическая форма $\text{Ni}(\text{C}_4\text{H}_7\text{N}_2\text{O}_2)_2$ ($\delta=0,5\%$). Раствор диметилглиоксина ($\omega=1\%$) готовили растворением 2 г $\text{C}_4\text{H}_8\text{N}_2\text{O}_2$ «ч.д.а.» в 200 мл 96%-го этанола. Стандартизацию растворов $\text{Ln}(\text{NO}_3)_3$ проводили прямым комплексонометрическим титрованием в среде ацетатного буферного раствора ($\text{pH}=5,0–5,5$) с индикатором ксиленоловым оранжевым ($\delta=0,8\%$). Точку эквивалентности фиксировали визуально по переходу розовой окраски в желтую.

Методика синтеза солей

Для получения солей по прямой реакции необходимое для образования гетерополигексавольфрамоникелат(II)-аниона $[\text{Ni}(\text{OH})_6\text{W}_6\text{O}_{18}]^{4-}$ количество нитрата никеля прибавляли по каплям к подкисленным растворам вольфрамата натрия, чтобы достичь конечного отношения $v(\text{Ni}^{2+}):v(\text{WO}_4^{2-}):v(\text{H}^+)=1:6:6$. К полученным растворам добавляли стехиометрическое количество раствора $\text{Ln}(\text{NO}_3)_3$.

Методика химического анализа солей

Вначале точные навески (по $\sim 0,2$ г) воздушно-сухих образцов кипятили в смеси концентрированных HCl и HNO_3 (15 и 5 мл соответственно) для перевода вольфрама в нерастворимый гидратированный желтый триоксид $\text{WO}_3 \cdot x\text{H}_2\text{O}$ и частичного отделения его от никеля и гадолиния. Для полного отделения никеля и гадолиния к мокрому осадку после упаривания добавляли 10 мл HNO_3 и выпаривали на водяной бане практически досуха. Затем приливали 70 мл дистиллированной воды и упаривали на водяной бане до 40 мл. После этого осадок $\text{WO}_3 \cdot x\text{H}_2\text{O}$ отфильтровывали через беззольный фильтр «синяя лента», промывали 3%-ным

раствором HNO_3 , высушивали и прокаливали при 800°C до гравиметрической формы WO_3 ($\delta=0,5\%$). Далее в полученном фильтрате определяли содержание Ln^{3+} ($\text{Ln}=\text{La}, \text{Ce}, \text{Pr}, \text{Nd}, \text{Sm}, \text{Eu}, \text{Gd}, \text{Tb}, \text{Dy}, \text{Ho}, \text{Er}, \text{Tm}, \text{Yb}, \text{Lu}$) и Ni^{2+} . Для этого сначала к фильтрату добавляли 10 мл 10%-ного раствора $\text{H}_2\text{C}_2\text{O}_4$ и нагревали до образования и укрупнения осадка $\text{Ln}_2(\text{C}_2\text{O}_4)_3 \cdot n\text{H}_2\text{O}$. Далее осадок отфильтровывали через беззольный фильтр «синяя лента» и промывали 3%-ным раствором $\text{H}_2\text{C}_2\text{O}_4$. После чего осадок высушивали и прокаливали при 800°C до гравиметрической формы Ln_2O_3 ($\delta=0,8\%$). Далее в упаренном до объёма ~ 2 мл фильтрате определяли содержание никеля. Для этого добавляли 50 мл дистиллированной воды, нагревали раствор до 80°C , добавляли 25 мл 25%-ного раствора аммиака и приливали 10 мл 1%-го раствора диметилглиоксина в этаноле. Раствор с образовавшимся красным осадком нагревали при 60°C в течение 20 мин и оставляли остывать до комнатной температуры. После этого осадок отфильтровывали через фильтр Шотта (пористость 40), промывали холодной водой и высушивали при 120°C до постоянной массы – гравиметрической формы $\text{Ni}(\text{C}_4\text{H}_7\text{N}_2\text{O}_2)_2$ ($\delta=0,8\%$). Содержание воды в солях определяли прокаливанием точных навесок воздушно-сухих образцов при 550°C ($\delta=0,5\%$).

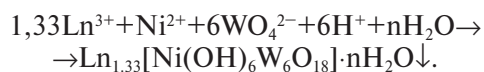
Параллельно подтверждали отсутствие натрия в фильтрате атомно-абсорбционной спектроскопией (AAC «Сатурн-3»; пламя ацетилен-воздух; аналитическая линия 589,0 нм; источник резонансного излучения – высокочастотная безэлектродная лампа ВСБ-2; $I=70$ мА).

ИК-спектроскопический анализ

Для идентификации анионов в составе синтезированных солей и установления характера периодичности в изменении положения полос поглощения от природы лантанида был использован ИК-спектроскопический анализ. ИК-спектры записывали на ИК-спектрометре FTIR Spectrum BXII (Perkin-Elmer) в области волновых чисел $400–4000 \text{ cm}^{-1}$. Для этого навеску соли 0,0030 г перетирали с 0,6000 г монокристаллического КВг и спрессовывали в тонкие диски.

Результаты и их обсуждение

Гетерополигексавольфрамоникелаты(II) ланатанидов получали взаимодействием стехиометрических количеств $\text{Ln}(\text{NO}_3)_3$, $\text{Ni}(\text{NO}_3)_2$, Na_2WO_4 и HNO_3 ($v(\text{Ni}^{2+}):v(\text{WO}_4^{2-}):v(\text{H}^+)=1:6:6$) по реакции:



Гетерогенные смеси выдерживались 3 недели, затем рентгеноаморфные осадки пастоподобной консистенции отделяли от маточного

Вторичная периодичность характеристических полос поглощения в ИК-спектрах гетерополигексавольфрамоникелатов(II) лантанидов

раствора и промывали холодной дистиллированной водой. В случае лантанидов с окрашенными аквакомплексами, осадки имели такой же цвет, что и водные растворы Ln^{3+} , а в остальных случаях были получены соли голубоватых оттенков. Высушенные на воздухе образцы становились стеклообразными, а их окраска становилась более интенсивной. Химический анализ полученных солей на содержание основных компонентов приведен в табл. 1.

ИК-спектры солей у всех лантанидов в области вольфрам-кислородных колебаний имеют одинаковый вид и, с незначительными отклонениями, практически совпадают с ИК-спектром $\text{Na}_4[\text{Ni}(\text{OH})_6\text{W}_6\text{O}_{18}] \cdot 16\text{H}_2\text{O}$ [10] (рис. 1, б), что указывает на идентичность анионов в этих солях и принадлежность их к структуре гетерополианиона Андерсона.

Колебания 950–960 cm^{-1} соответствуют валентным колебаниям концевых связей $\text{W}=\text{O}$, 470–900 cm^{-1} – валентным и деформационным колебаниям связей в группах $\text{W}-\text{O}-\text{W}$ и $\text{W}-\text{O}-\text{Ni}$, 1620–1630 cm^{-1} – деформационным колебаниям $\text{H}-\text{O}-\text{H}$, 3300–3500 cm^{-1} – валентным

колебаниям связей $\text{O}-\text{H}$ в молекулах H_2O и $\text{OH}-$ группах в структурном фрагменте $[\text{Ni}(\text{OH})_6]$ гетерополианиона. В табл. 2 приведены волновые числа максимумов поглощения в ИК-спектрах выделенных солей $\text{Ln}_4[\text{Ni}(\text{OH})_6\text{W}_6\text{O}_{18}]_3 \cdot n\text{H}_2\text{O}$.

Известно, что положение некоторых полос поглощения в колебательных спектрах солей лантанидов зависит от природы катиона [11]. Поэтому интересно было установить возможность такой зависимости в положении полос поглощения от порядкового номера лантанида в спектрах гетерополигексавольфрамоникелатов(II) лантанидов. Анализ литературных данных о строении ряда гетерополисоединений с анионом структуры Андерсона и катионами лантанидов [8,12] показал, что в координационные полиэдры ионов Ln^{3+} входят концевые атомы кислорода гетерополианиона и кристаллизационная вода, то есть свивка анионов в одномерные цепочки происходит за счет концевых связей $\text{W}=\text{O}$. Ожидалось, что именно полоса поглощения, соответствующая колебаниям связи $\text{W}=\text{O}$ и должна подвергаться наибольшим трансформациям, однако, в ряду $\text{Ln}_4[\text{Ni}(\text{OH})_6\text{W}_6\text{O}_{18}]_3 \cdot n\text{H}_2\text{O}$

Результаты химического анализа солей (мас.%)

Результаты химического анализа		Ln_2O_3	NiO	WO_3	H_2O
La	Найдено	11,0	3,2	70,3	15,3
	Вычислено для $\text{La}_4[\text{Ni}(\text{OH})_6\text{W}_6\text{O}_{18}]_3 \cdot 42\text{H}_2\text{O}$	10,9	3,8	69,9	15,4
Ce	Найдено	10,4	3,6	69,7	16,3
	Вычислено для $\text{Ce}_4[\text{Ni}(\text{OH})_6\text{W}_6\text{O}_{18}]_3 \cdot 46\text{H}_2\text{O}$	10,9	3,7	69,0	16,4
Pr	Найдено	11,3	3,5	69,3	15,8
	Вычислено для $\text{Pr}_4[\text{Ni}(\text{OH})_6\text{W}_6\text{O}_{18}]_3 \cdot 44\text{H}_2\text{O}$	11,0	3,7	69,4	15,9
Nd	Найдено	11,4	3,1	67,5	17,1
	Вычислено для $\text{Nd}_4[\text{Ni}(\text{OH})_6\text{W}_6\text{O}_{18}]_3 \cdot 50\text{H}_2\text{O}$	11,0	3,7	68,0	17,3
Sm	Найдено	11,2	3,3	69,1	15,0
	Вычислено для $\text{Sm}_4[\text{Ni}(\text{OH})_6\text{W}_6\text{O}_{18}]_3 \cdot 42\text{H}_2\text{O}$	11,6	3,7	69,4	15,3
Eu	Найдено	12,1	3,5	69,0	14,9
	Вычислено для $\text{Eu}_4[\text{Ni}(\text{OH})_6\text{W}_6\text{O}_{18}]_3 \cdot 41\text{H}_2\text{O}$	11,7	3,7	69,5	15,0
Gd	Найдено	11,8	3,7	68,2	16,1
	Вычислено для $\text{Gd}_4[\text{Ni}(\text{OH})_6\text{W}_6\text{O}_{18}]_3 \cdot 45\text{H}_2\text{O}$	11,9	3,7	68,5	16,0
Tb	Найдено	11,4	3,2	68,9	15,6
	Вычислено для $\text{Tb}_4[\text{Ni}(\text{OH})_6\text{W}_6\text{O}_{18}]_3 \cdot 44\text{H}_2\text{O}$	12,0	3,7	68,6	15,7
Dy	Найдено	12,8	3,1	67,9	15,3
	Вычислено для $\text{Dy}_4[\text{Ni}(\text{OH})_6\text{W}_6\text{O}_{18}]_3 \cdot 44\text{H}_2\text{O}$	12,2	3,7	68,4	15,7
Ho	Найдено	12,2	3,2	68,4	15,3
	Вычислено для $\text{Ho}_4[\text{Ni}(\text{OH})_6\text{W}_6\text{O}_{18}]_3 \cdot 43\text{H}_2\text{O}$	12,4	3,7	68,5	15,4
Er	Найдено	12,7	3,3	68,0	15,1
	Вычислено для $\text{Er}_4[\text{Ni}(\text{OH})_6\text{W}_6\text{O}_{18}]_3 \cdot 42\text{H}_2\text{O}$	12,6	3,7	68,6	15,1
Tm	Найдено	12,2	3,4	68,1	14,7
	Вычислено для $\text{Tm}_4[\text{Ni}(\text{OH})_6\text{W}_6\text{O}_{18}]_3 \cdot 41\text{H}_2\text{O}$	12,7	3,7	68,8	14,8
Yb	Найдено	13,3	3,8	72,3	9,6
	Вычислено для $\text{Yb}_4[\text{Ni}(\text{OH})_6\text{W}_6\text{O}_{18}]_3 \cdot 22\text{H}_2\text{O}$	13,7	3,9	72,7	9,7
Lu	Найдено	12,6	3,8	67,7	14,9
	Вычислено для $\text{Lu}_4[\text{Ni}(\text{OH})_6\text{W}_6\text{O}_{18}]_3 \cdot 42\text{H}_2\text{O}$	13,1	3,7	68,7	14,5

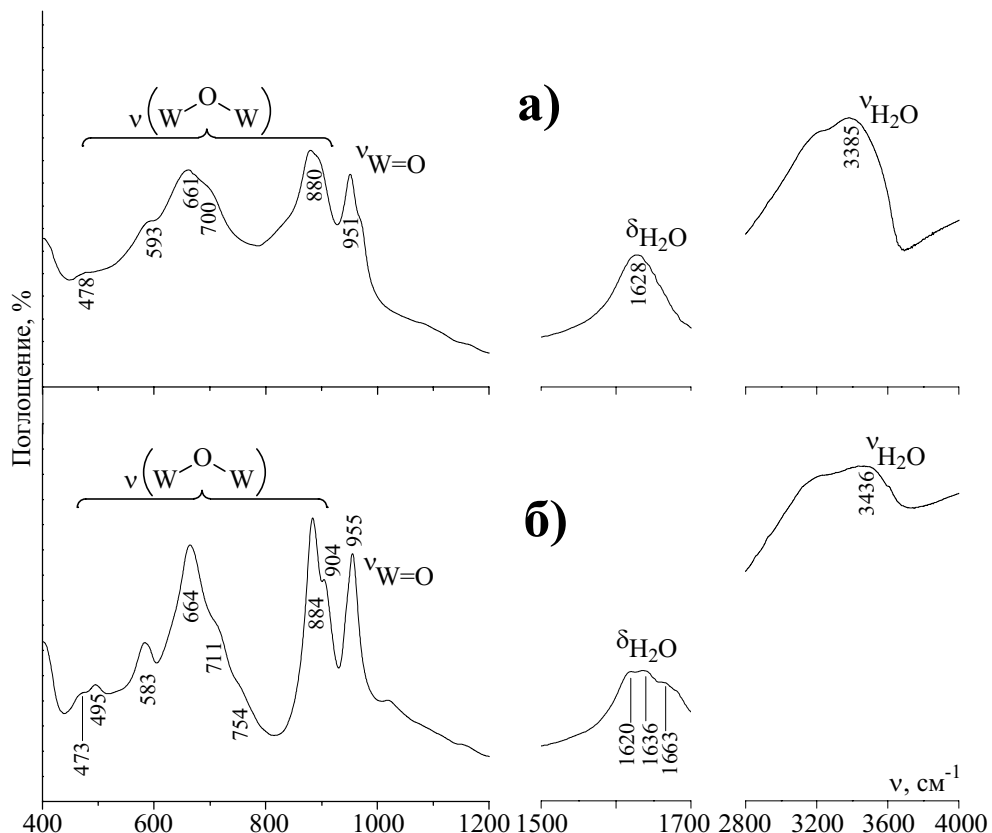


Рис. 1. ИК-спектры синтезированных гетерополисоединений: а – $\text{Gd}_4[\text{Ni}(\text{OH})_6\text{W}_6\text{O}_{18}]_3 \cdot 45\text{H}_2\text{O}$; б – $\text{Na}_4[\text{Ni}(\text{OH})_6\text{W}_6\text{O}_{18}] \cdot 16\text{H}_2\text{O}$ [10]

Таблица 2

Результаты ИК-спектрологического анализа солей

Гетерополисоединение	Положение максимумов основных полос поглощения, cm^{-1}	
	$v(\text{W}-\text{O}-\text{W}, \text{W}-\text{O}-\text{Ni})$	$v(\text{W}=\text{O})$
$\text{La}_4[\text{Ni}(\text{OH})_6\text{W}_6\text{O}_{18}]_3 \cdot 42\text{H}_2\text{O}$	470 сл 588 сл 668 с 877 с	947 с
$\text{Ce}_4[\text{Ni}(\text{OH})_6\text{W}_6\text{O}_{18}]_3 \cdot 46\text{H}_2\text{O}$	473 сл 588 сл 662 с 876 с	949 с
$\text{Pr}_4[\text{Ni}(\text{OH})_6\text{W}_6\text{O}_{18}]_3 \cdot 44\text{H}_2\text{O}$	474 сл 590 сл 669 с 876 с	949 с
$\text{Nd}_4[\text{Ni}(\text{OH})_6\text{W}_6\text{O}_{18}]_3 \cdot 50\text{H}_2\text{O}$	475 сл 594 сл 665 с 876 с	949 с
$\text{Sm}_4[\text{Ni}(\text{OH})_6\text{W}_6\text{O}_{18}]_3 \cdot 42\text{H}_2\text{O}$	478 сл 584 сл 666 с 877 с	949 с
$\text{Eu}_4[\text{Ni}(\text{OH})_6\text{W}_6\text{O}_{18}]_3 \cdot 41\text{H}_2\text{O}$	488 сл 587 сл 660 с 879 с	950 с
$\text{Gd}_4[\text{Ni}(\text{OH})_6\text{W}_6\text{O}_{18}]_3 \cdot 45\text{H}_2\text{O}$	478 сл 593 сл 661 с 880 с	951 с
$\text{Tb}_4[\text{Ni}(\text{OH})_6\text{W}_6\text{O}_{18}]_3 \cdot 44\text{H}_2\text{O}$	592 сл 673 с 878 с	950 с
$\text{Dy}_4[\text{Ni}(\text{OH})_6\text{W}_6\text{O}_{18}]_3 \cdot 44\text{H}_2\text{O}$	488 сл 592 сл 660 с 881 с	951 с
$\text{Ho}_4[\text{Ni}(\text{OH})_6\text{W}_6\text{O}_{18}]_3 \cdot 43\text{H}_2\text{O}$	484 сл 588 сл 663 с 877 с	949 с
$\text{Er}_4[\text{Ni}(\text{OH})_6\text{W}_6\text{O}_{18}]_3 \cdot 42\text{H}_2\text{O}$	486 сл 593 сл 660 с 886 с	952 с
$\text{Tm}_4[\text{Ni}(\text{OH})_6\text{W}_6\text{O}_{18}]_3 \cdot 41\text{H}_2\text{O}$	483 сл 586 сл 657 с 885 с	952 с
$\text{Yb}_4[\text{Ni}(\text{OH})_6\text{W}_6\text{O}_{18}]_3 \cdot 22\text{H}_2\text{O}$	487 сл 593 сл 662 с 882 с	952 с
$\text{Lu}_4[\text{Ni}(\text{OH})_6\text{W}_6\text{O}_{18}]_3 \cdot 42\text{H}_2\text{O}$	488 сл 593 сл 657 с 881 с	951 с

Примечание: характеристики интенсивности колебаний: сл – слабое, с – сильное

она практически не изменяется ($949\text{--}952\text{ cm}^{-1}$). В то же время положение полос поглощения в областях $660\text{--}673\text{ cm}^{-1}$ и $876\text{--}886\text{ cm}^{-1}$ изменяются в большей степени и зависят от порядкового номера лантантида практически линейно (рис. 2).

Полоса поглощения вблизи $\sim 480\text{ cm}^{-1}$ для солей цериевой подгруппы проявляется при $\sim 478\text{ cm}^{-1}$, а для иттриевой – при $\sim 487\text{ cm}^{-1}$, исключение составляют Eu и Gd, в спектрах которых имеются полосы 488 и 478 cm^{-1} , соответственно (рис. 3). Характер изменения v на

Вторичная периодичность характеристических полос поглощения в ИК-спектрах гетерополигексавольфрамоникелатов(II) лантанидов

рис. 3 однозначно указывает на наличие так называемого гадолиниевого излома, связанного с немонотонным изменением спинового момента катионов Ln^{3+} .

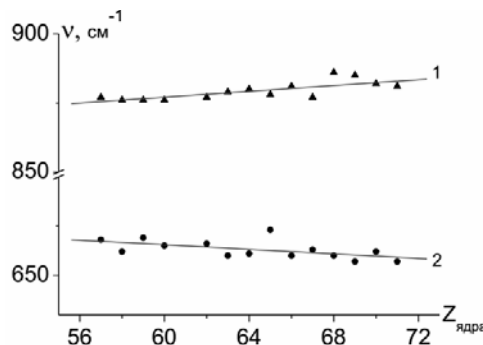


Рис. 2. Зависимости положения частот в ИК-спектрах $\text{Ln}_4[\text{Ni}(\text{OH})_6\text{W}_6\text{O}_{18}]_3 \cdot \text{nH}_2\text{O}$ от порядкового номера Ln
1 — $\text{W}-\text{O}_b-\text{W}$ при $876-886 \text{ см}^{-1}$;
2 — $\text{W}-\text{O}_c-\text{W}$ при $660-673 \text{ см}^{-1}$

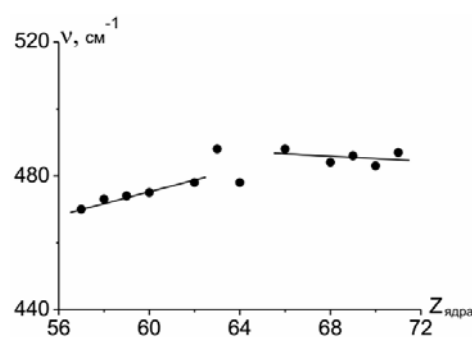


Рис. 3. Зависимость положения полосы при $470-488 \text{ см}^{-1}$ в ИК-спектрах $\text{Ln}_4[\text{Ni}(\text{OH})_6\text{W}_6\text{O}_{18}]_3 \cdot \text{nH}_2\text{O}$ от порядкового номера Ln

Известно [13], что при учете спин-спиновых взаимодействий на зависимости мультиплетности S от заряда ядра лантанида Z фиксируется гадолиниевый излом (рис. 4,а), тогда как зависимости углового момента J от Z , учитываяющим, кроме спин-спиновых, еще и спин-орбитальные взаимодействия, носят более сложный характер (рис. 4,б, табл. 3). При этом спин-орбитальная стабилизация не только фиксирует середину ряда f-элементов (f^7 — гадолиниевый излом рис. 4,б), но и экстремумы в районах f^3-f^4 и $f^{11}-f^{12}$, названные дубль-дубль эффектом.

Следует заметить, что этот эффект иллюстрирует симметричность в чередовании термов относительно S терма Gd , что и фиксируется экстремумами на кривой зависимости углового момента $J=f(Z)$ (рис. 4,б). В ряду лантанидов термы основных состояний повторяются периодически, образуя четыре группы:

- $^2\text{F}(\text{Ce})-^3\text{H}(\text{Pr})-^4\text{I}(\text{Nd})$;
- $^5\text{I}(\text{Pm})-^6\text{H}(\text{Sm})-^7\text{F}(\text{Eu})$;
- $^7\text{F}(\text{Tb})-^6\text{H}(\text{Dy})-^5\text{I}(\text{Ho})$;
- $^4\text{I}(\text{Er})-^3\text{H}(\text{Tm})-^2\text{F}(\text{Yb})$,

разделенные посередине термом $^8\text{S}(\text{Gd})$. D.F. Peppard с сотрудниками [13] предложил называть эти группы тетрадами, а их немонотонное, но периодическое изменение — тетрадным эффектом.

При построении зависимости частот поглощения при $470-488 \text{ см}^{-1}$ в ИК-спектрах $\text{Ln}_4[\text{Ni}(\text{OH})_6\text{W}_6\text{O}_{18}]_3 \cdot \text{nH}_2\text{O}$ от мультиплетности S и углового момента J , после выбраковки, были получены кривые с ярко выраженным гадолиниевым изломом (рис. 5,а) и дубль-дубль эффектом (рис. 5,б).

Таблица 3
Корреляция характеристических частот поглощения
в ИК-спектре $\text{Ln}_4[\text{Ni}(\text{OH})_6\text{W}_6\text{O}_{18}]_3 \cdot \text{nH}_2\text{O}$ с
электронными параметрами серии ионов лантанидов

Ln^{3+}	Z	Основной терм	S	L	J	$\nu(\text{W}-\text{O}-\text{W}, \text{W}-\text{O}-\text{Ni}), \text{см}^{-1}$		
La^{3+}	57	$^1\text{S}_0$	0	0	0	470	668	877
Ce^{3+}	58	$^2\text{F}_{5/2}$	1/2	3	5/2	473	662	876
Pr^{3+}	59	$^3\text{H}_4$	1	5	4	474	669	876
Nd^{3+}	60	$^4\text{I}_{9/2}$	3/2	6	9/2	475	665	876
Pm^{3+}	61	$^5\text{I}_4$	2	6	4	—	—	—
Sm^{3+}	62	$^6\text{H}_{5/2}$	5/2	5	5/2	478	666	877
Eu^{3+}	63	$^7\text{F}_0$	3	3	0	488	660	879
Gd^{3+}	64	$^8\text{S}_{7/2}$	7/2	0	7/2	478	661	880
Tb^{3+}	65	$^7\text{F}_6$	3	3	6	?	673	878
Dy^{3+}	66	$^6\text{H}_{15/2}$	5/2	5	15/2	488	660	881
Ho^{3+}	67	$^5\text{I}_8$	2	6	8	484	663	877
Er^{3+}	68	$^4\text{I}_{15/2}$	3/2	6	15/2	486	660	886
Tm^{3+}	69	$^3\text{H}_6$	1	5	6	483	657	885
Yb^{3+}	70	$^2\text{F}_{7/2}$	1/2	3	7/2	487	662	882
Lu^{3+}	71	$^1\text{S}_0$	0	0	0	488	657	881

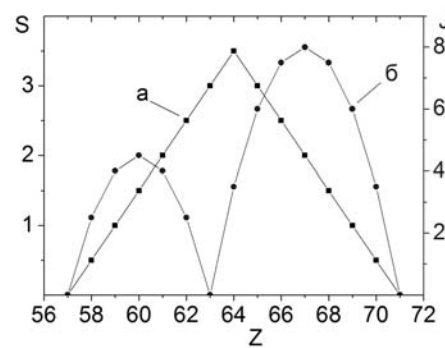


Рис. 4. Зависимость мультиплетности S (а) и углового момента J (б) от Z [13]

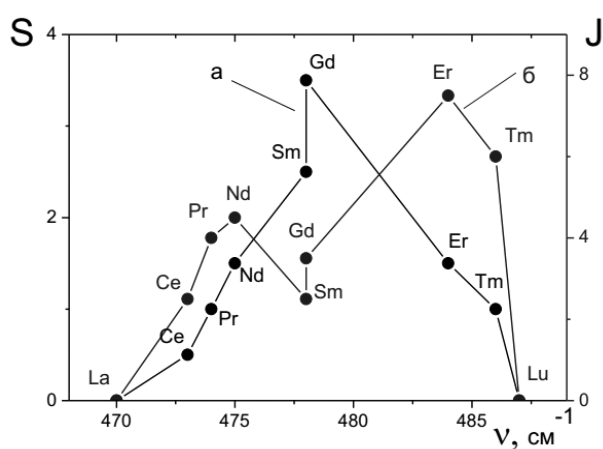


Рис. 5. Зависимость мультиплетности S (а) и углового момента J (б) от положения частот в ИК-спектрах $\text{Ln}_4[\text{Ni}(\text{OH})_6\text{W}_6\text{O}_{18}] \cdot n\text{H}_2\text{O}$ при $470\text{--}488 \text{ см}^{-1}$

В 1976 году S.P. Sinha показал [14], что периодичность свойств появляется из-за того, что

для f-элементов угловой момент основных термов изменяется нелинейно и делит их на четыре сегмента, а формальный заряд ядра, от которого строятся зависимости, изменяется линейно и монотонно. Поэтому он рекомендовал строить зависимости свойств лантанидов не от формального заряда ядра Z , а от численного значения орбитального момента основных термов L . В этом случае такие зависимости чаще всего имеют форму буквы W, как это можно проиллюстрировать зависимостью ионных радиусов r (рис. 6,а) и эффективных зарядов Z^* [15] (рис. 6,б) от углового момента L .

Следует заметить, что хорошие результаты в диаграммах, предложенных S.P. Sinha [14], получаются только в том случае, если используемое свойство непрерывно зависит от Z , а периодичность на первый взгляд не видна. На рис. 7 представлены зависимости положения частот в ИК-спектрах $\text{Ln}_4[\text{Ni}(\text{OH})_6\text{W}_6\text{O}_{18}] \cdot n\text{H}_2\text{O}$, на которых явно видны четыре сегмента, отвечающие тетрадному (дубль–дубль) эффекту.

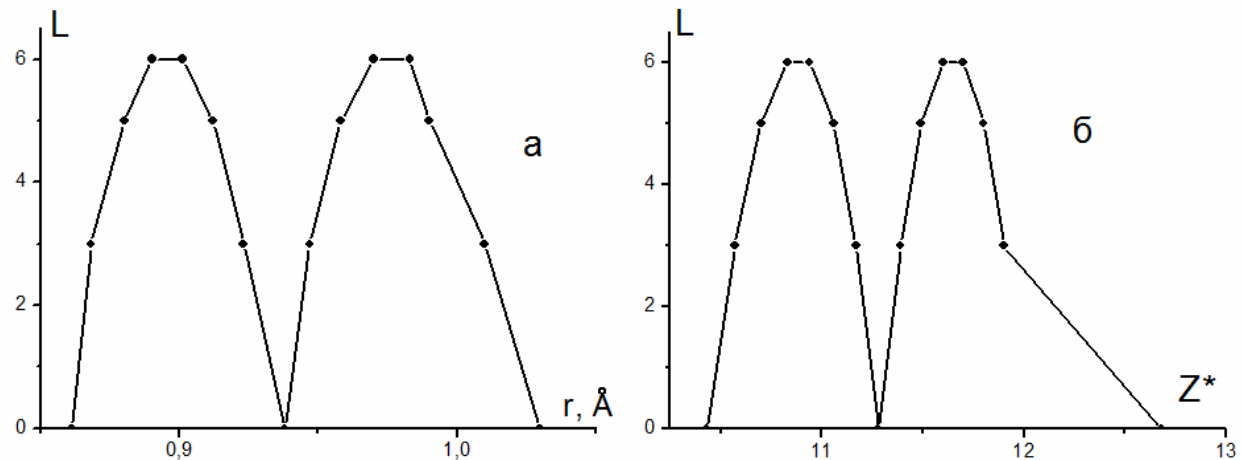


Рис. 6. Зависимость орбитального момента L от ионных радиусов r (к.ч.=6) (а) и эффективных зарядов Z^* (б) [15]

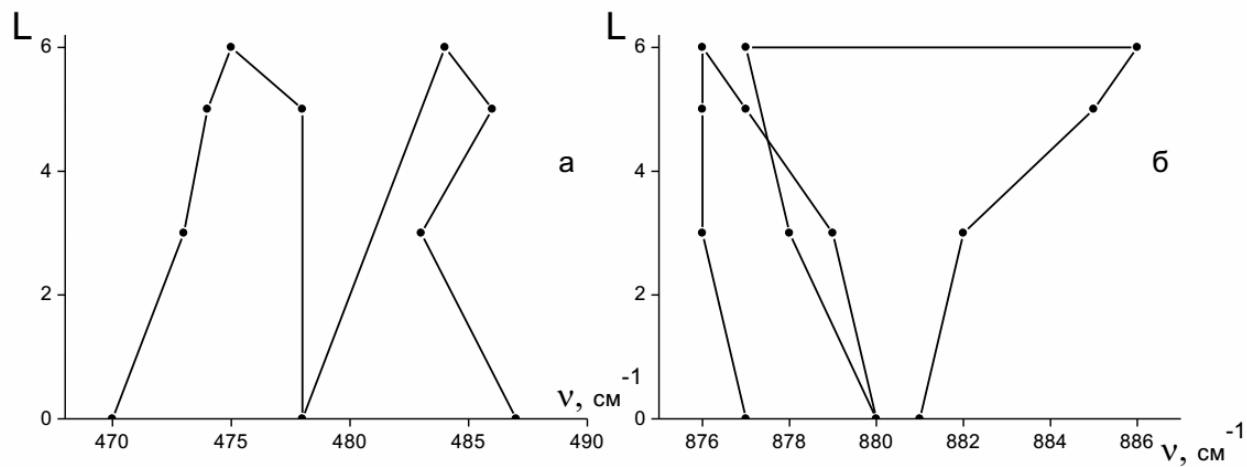


Рис. 7. Зависимость орбитального момента L от положения частот в ИК-спектрах $\text{Ln}_4[\text{Ni}(\text{OH})_6\text{W}_6\text{O}_{18}] \cdot n\text{H}_2\text{O}$ при $470\text{--}488 \text{ см}^{-1}$ (а) и $876\text{--}886 \text{ см}^{-1}$ (б)

Вторичная периодичность характеристических полос поглощения в ИК-спектрах гетерополигексавольфрамоникелатов(II) лантанидов

Заключение

Разработаны методики синтеза 14 новых соединений $\text{Ln}_4[\text{Ni}(\text{OH})_6\text{W}_6\text{O}_{18}]_3 \cdot n\text{H}_2\text{O}$ ($\text{Ln}=\text{La}, \text{Ce}, \text{Pr}, \text{Nd}, \text{Sm}, \text{Eu}, \text{Gd}, \text{Tb}, \text{Dy}, \text{Ho}, \text{Er}, \text{Tm}, \text{Yb}, \text{Lu}$), включающие реакции поликонденсации и обмена. Показано, что на зависимостях полосы поглощения при $470-488 \text{ см}^{-1}$ в ИК-спектрах гетерополигексавольфрамоникелатов(II) лантанидов от значений мультиплетности и углового момента наблюдается гадолиниевый излом и тетрадный эффект, а на зависимостях полос при $470-488 \text{ см}^{-1}$ и $876-886 \text{ см}^{-1}$ от орбитального момента только тетрадный эффект.

Благодарности

Работа выполнена в соответствии с программой фундаментальных исследований Министерства образования и науки Украины (проект № 0116U002521).

СПИСОК ЛИТЕРАТУРЫ

1. Putaj P., Lefebvre P. Polyoxometalates containing late transition and noble metal atoms // *Coord. Chem. Rev.* – 2011. – Vol.255. – № 15-16. – P.1642-1685.
2. Long D.-L., Tsunashima R., Cronin L. Polyoxometalates: Building Blocks for Functional Nanoscale Systems // *Angew. Chem. Int. Ed.* – 2010. – Vol.49. – P.1736-1758.
3. One Dimensional Face-to-Face Stacking of Anderson-Evans $[\text{Cr}(\text{OH})_6\text{Mo}_6\text{O}_{18}]^{3-}$ Polyoxometalate Anion: Synthesis, Structure, and Physical Properties of $(\text{BEDT-TTF})_4[\text{Cr}(\text{OH})_6\text{Mo}_6\text{O}_{18}] \cdot 2\text{H}_2\text{O}$ / L. Ouahab, S. Golhen, Y. Yoshida et al. // *J. Clust. Sci.* – 2003. – Vol.14. – № 3. – P.193-204.
4. Tanaka S., Annaka M., Sakai K. Visible light-induced water oxidation catalyzed by molybdenum-based polyoxometalates with mono- and dicobalt(III) cores as oxygen-evolving centers / / *Chem. Commun.* – 2012. – Vol.48. – P.1653-1655.
5. Design of Hydrophobic Polyoxometalate Hybrid Assemblies Beyond Surfactant Encapsulation / Y.-F. Song, N. McMillan, D.-L. Long et al. // *Chem. Eur. J.* – 2008. – Vol.14. – P.2349-2354.
6. Synthesis and characterization of B-type Anderson polyxoanions supported copper complexes with mixed ligands / S. Zhang, Y. Li, Y. Liu et al. // *J. Mol. Struct.* – 2009. – Vol.920. – № 1-3. – P.284-288.
7. Influence of different site symmetries of Eu^{3+} centers on the luminescence properties of Anderson-based compounds / R. Cao, S. Liu, L. Xie et al. // *Inorg. Chim. Acta*. – 2008. – Vol.361. – № 7. – P.2013-2018.
8. Self-assembly of polyoxometalate-supported Ln -Hydroxo/oxo clusters with 1D extended structure: $[\text{Ln}^{\text{III}}(\text{H}_2\text{O})_7\text{Cr}(\text{OH})_6\text{Mo}_6\text{O}_{18}]_n \cdot 4\text{nH}_2\text{O}$ ($\text{Ln}=\text{Ce}, \text{Sm}, \text{Eu}$) / D.-M. Shi, F.-X. Ma, C.-J. Zhang et al. // *Z. Anorg. Allg. Chem.* – 2008. – Vol.634. – № 4. – P.758-763.
9. Гумерова Н.И., Розанцев Г.М., Радио С.В. Гетерополигексавольфрамоникелат(II) гадолиния: синтез, свойства и морфология поверхности // Вопр. химии и хим. технологии. – 2012. – № 1. – С.88-92.
10. Phase formation in the $\text{Ni}^{2+}-\text{WO}_4^{2-}-\text{H}^+-\text{H}_2\text{O}$ system ($Z=1.00$). Crystal structure and properties of sodium heteropolyhexatungsten nickelate(2+) $\text{Na}_4[\text{Ni}(\text{OH})_6\text{W}_6\text{O}_{18}] \cdot 16\text{H}_2\text{O}$ / G.M. Rozantsev, S.V. Radio, N.I. Gumerova, et al. // *J. Struct. Chem.* – 2009. – Vol.50. – № 2. – P.296-305.
11. Spectroscopic investigation of a series of sodium lanthanide decatungstates, $\text{Na}_2\text{H}_2\text{Ln}(\text{III})(\text{W}_5\text{O}_{18})_2 \cdot n\text{H}_2\text{O}$ ($\text{Ln}: \text{La}-\text{Yb}$): the contribution of $4f^n$ electrons to bonding interaction among $\text{Ln}(\text{III})$ and polyoxotungstates / R. Shiozaki, A. Inagaki, A. Nishino, et al. // *J. Alloys Compounds*. – 1996. – Vol.234. – № 2. – P.193-198.
12. Drewes D., Krebs B. Synthesis and structure of a novel type of polyoxomolybdate lanthanide complex: $[(\text{Ln}(\text{H}_2\text{O})_6)_2(\text{TeMo}_6\text{O}_{24})]$ ($\text{Ln}=\text{Ho}, \text{Yb}$) // *Z. Anorg. Allg. Chem.* – 2005. – Vol.631. – № 13-14. – P.2591-2594.
13. Peppard D.F., Mason G.W., Lewey S. A tetrad effect in the liquid-liquid extraction ordering of lanthanides(III) // *J. Inorg. Nucl. Chem.* – 1969. – Vol.31. – № 7. – P.2271-2272.
14. Sinha S.P. A systematic correlation of the properties of the f-transition metal ions. In: *Rare Earths. Structure and Bonding* // Springer, Berlin, Heidelberg. – 1991. – Vol.30. – P.1-64.
15. Fischer C.F. Average-energy-of-configuration Hartree-Fock results for the atoms helium to radon // *Atomic Data and Nuclear Data Tables*. – 1972. – Vol.4. – P.301-399.

Поступила в редакцию 28.04.2017

SECONDARY PERIODICITY OF THE CHARACTERISTIC ABSORPTION BANDS IN THE INFRARED SPECTRA OF LANTHANIDE HETEROPOLYHEXATUNGSTONICKELATES (II)

G.M. Rozantsev ^a, N.I. Gumerova ^{a,b}, O.Yu. Mariichak ^a, O.M. Usachov ^a, S.V. Radio ^a

^a Vasyl' Stus Donetsk National University, Faculty of Chemistry, Vinnytsia, Ukraine

^b University of Vienna, Faculty of Chemistry, Vienna, Austria

The conditions for the direct synthesis of 14 new lanthanide heteropoly hexatungstonickelates (II) $\text{Ln}_4[\text{Ni}(\text{OH})_6\text{W}_6\text{O}_{18}]_3 \cdot n\text{H}_2\text{O}$ ($\text{Ln}=\text{La}, \text{Ce}, \text{Pr}, \text{Nd}, \text{Sm}, \text{Eu}, \text{Gd}, \text{Tb}, \text{Dy}, \text{Ho}, \text{Er}, \text{Tm}, \text{Yb}, \text{Lu}$) from the $\text{Ni}^{2+}-\text{WO}_4^{2-}-\text{H}^+-\text{H}_2\text{O}$ ($v(\text{Ni}^{2+}):v(\text{WO}_4^{2-}):v(\text{H}^+)=1:6:6$) solutions were established. FTIR spectra for all lanthanide salts follow a common pattern in the tungsten–Oxygen framework (400–1000 cm^{-1}) and heteropoly anion $[\text{Ni}(\text{OH})_6\text{W}_6\text{O}_{18}]^{4-}$ in the isolated salts belongs to the Anderson-type structure. It was found out that the position of the absorption band corresponding to stretching vibrations of the $\text{W}=\text{O}$ bond for a number of $\text{Ln}_4[\text{Ni}(\text{OH})_6\text{W}_6\text{O}_{18}]_3 \cdot n\text{H}_2\text{O}$ salts remains practically unchanged (949–952 cm^{-1}). At the same time, the position of the absorption bands of stretching vibrations in $\text{W}-\text{O}-\text{W}$ bridge fragments in the 660–673 cm^{-1} and 876–886 cm^{-1} regions varies more noticeable and they practically linearly depend on the ordinal number of the lanthanide. It was shown that the pronounced «Gadolinium break» and «double-double effect» are observed on the dependences of the absorption bands at 470–488 cm^{-1} vs. values of multiplicity (S) and angular moments (J) due to the spin-spin interactions.

Keywords: heteropoly compounds; Anderson-type heteropoly anion; lanthanide; FTIR spectroscopy.

REFERENCES

1. Putaj P., Lefebvre P. Polyoxometalates containing late transition and noble metal atoms. *Coordination Chemistry Reviews*, 2011, vol. 255, no. 15-16, pp. 1642-1685.
2. Long D.-L., Tsunashima R., Cronin L. Polyoxometalates: building blocks for functional nanoscale systems. *Angewandte Chemie, International Edition*, 2010, vol. 49, pp. 1736-1758.
3. Ouahab L., Golhen S., Yoshida Y., Saito G. One dimensional face-to-face stacking of Anderson-Evans $[\text{Cr}(\text{OH})_6\text{Mo}_6\text{O}_{18}]^{3-}$ polyoxometalate anion: synthesis, structure, and physical properties of $(\text{BEDT-TTF})_4[\text{Cr}(\text{OH})_6\text{Mo}_6\text{O}_{18}] \cdot 2\text{H}_2\text{O}$. *Journal of Cluster Science*, 2003, vol. 14, no. 3, pp. 193-204.
4. Tanaka S., Annaka M., Sakai K. Visible light-induced water oxidation catalyzed by molybdenum-based polyoxometalates with mono- and dicobalt(III) cores as oxygen-evolving centers. *Chemical Communications*, 2012, vol. 48, pp. 1653-1655.
5. Song Y.-F., McMillan N., Long D.-L., Thiel J., Ding Y., Chen H., Gadegaard N., Cronin L. Design of hydrophobic polyoxometalate hybrid assemblies beyond surfactant encapsulation. *Chemistry – A European Journal*, 2008, vol. 14, pp. 2349-2354.
6. Zhang Sh., Li Yu., Liu Y., Cao R., Sun Ch., Ji H., Liu Sh. Synthesis and characterization of B-type Anderson polyoxoanions supported copper complexes with mixed ligands. *Journal of Molecular Structure*, 2009, vol. 920, no. 1-3, pp. 284-288.
7. Cao R., Liu S., Xie L., Pan Y., Cao J., Liu Y. Influence of different site symmetries of Eu^{3+} centers on the luminescence properties of Anderson-based compounds. *Inorganica Chimica Acta*, 2008, vol. 361, no. 7, pp. 2013-2018.
8. Shi D.-M., Ma F.-X., Zhang C.-J., Lu S., Chen Y.-G. Self-assembly of polyoxometalate-supported Ln-hydroxo/oxo clusters with 1D extended structure: $[\text{Ln}^{\text{III}}(\text{H}_2\text{O})_7\text{Cr}(\text{OH})_6\text{Mo}_6\text{O}_{18}] \cdot 4\text{nH}_2\text{O}$ ($\text{Ln}=\text{Ce, Sm, Eu}$). *Zeitschrift für Anorganische und Allgemeine Chemie*, 2008, vol. 634, no. 4, pp. 758-763.
9. Gumerova N.I., Rozantsev G.M., Radio S.V. Heteropolyheksavolframonykelat(II) hadolynya: syntez, svoistva y morfolohiya poverkhnosty [Gadolinium Heteropoly hexatungstonicelate(II): synthesis, properties, and surface morphology]. *Voprosy khimii i khimicheskoi tekhnologii*, 2012, vol. 1, pp. 88-92. (in Russian).
10. Rozantsev G.M., Radio S.V., Gumerova N.I., Baumer V.N., Shishkin O.V. Phase formation in the $\text{Ni}^{2+}\text{-WO}_4^{2-}\text{-H}^+\text{-H}_2\text{O}$ system ($Z=1.00$). Crystal structure and properties of sodium heteropolyhexatungsten nickelate(2+) $\text{Na}_4[\text{Ni}(\text{OH})_6\text{W}_6\text{O}_{18}] \cdot 16\text{H}_2\text{O}$. *Journal of Structural Chemistry*, 2009, vol. 50, no. 2, pp. 296-305.
11. Shiozaki R., Inagaki A., Nishino A., Nishio E., Maekawa M., Kominami H., Kera Y. Spectroscopic investigation of a series of sodium lanthanide decatungstates, $\text{Na}_2\text{H}_2\text{Ln}(\text{III})(\text{W}_5\text{O}_{18})_2 \cdot n\text{H}_2\text{O}$ (Ln: La-Yb): the contribution of $4f^n$ electrons to bonding interaction among $\text{Ln}(\text{III})$ and polyoxotungstates. *Journal of Alloys and Compounds*, 1996, vol. 234, no. 2, pp. 193-198.
12. Drewes D., Krebs B. Synthesis and structure of a novel type of polyoxomolybdate lanthanide complex: $[(\text{Ln}(\text{H}_2\text{O})_6)_2(\text{TeMo}_6\text{O}_{24})]$ ($\text{Ln}=\text{Ho, Yb}$). *Zeitschrift für Anorganische und Allgemeine Chemie*, 2005, vol. 631, no. 13-14, pp. 2591-2594.
13. Peppard D.F., Mason G.W., Lewey S. A tetrad effect in the liquid-liquid extraction ordering of lanthanides(III). *Journal of Inorganic and Nuclear Chemistry*, 1969, vol. 31, no. 7, pp. 2271-2272.
14. Sinha S.P., A systematic correlation of the properties of the f-transition metal ions. In: Rare earths. Structure and bonding. Springer, Berlin, Heidelberg, 1991, vol. 30, pp. 1-64.
15. Fischer C.F. Average-energy-of-configuration Hartree-Fock results for the atoms helium to radon. *Atomic Data and Nuclear Data Tables*, 1972, vol. 4, pp. 301-399.